

Université du Maine - Licence SPI 3<sup>ème</sup> année  
28 mai 2014

---

ÉTUDE DU PHÉNOMÈNE DE DISPERSION

---

Thomas LECHAT  
Alice DINSENMEYER

*Encadrés par*  
Sohbi SAHRAOUI  
Professeur à l'université du Maine

## DANS LES MILIEUX CONTINUS

Dispersion dans un guide d'onde

Dispersion dans une poutre en flexion

## DANS UN RÉSEAU

Mise en équation du problème

Courbe de dispersion

Résultats expérimentaux

## Conclusion

## DANS LES MILIEUX CONTINUS

## Dispersion dans un guide d'onde

# MISE EN ÉQUATION DE LA PRESSION

- Équation de propagation :

$$\nabla^2 p - \frac{1}{c^2} \frac{\partial^2 p}{\partial t^2} = 0 \quad \text{avec} \quad p(x, y, t) = X(x)Y(y)T(t)$$

- Solution de cette équation :
  - $Y(y) = A \cos k_y y + B \sin k_y y$
  - $X(x) = C e^{-jk_x x}$
  - $T(t) = e^{j\omega t}$

d'où :

$$p(x, y, t) = [A \cos k_y y + B \sin k_y y] C e^{-jk_x x} e^{j\omega t} \quad (1)$$

# APPLICATION DES CONDITIONS LIMITES À LA PAROI

- Paroi infiniment rigide :

$$\left. \frac{\partial p}{\partial y} \right|_{y=0}^{y=L} = 0 \quad \Rightarrow \quad \begin{cases} B = 0 \\ k_{yn} = \frac{n\pi}{L} \end{cases}$$

- Finalement :

$$p(x, y, t) = \sum_n A_n \cos\left(\frac{n\pi}{L}y\right) e^{-jk_{xn}x} e^{j\omega t} \quad (2)$$

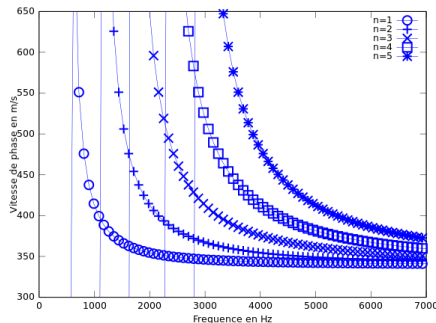
avec :

$$k_{xn} = \sqrt{k^2 - k_{yn}^2} = \sqrt{k^2 - \left(\frac{n\pi}{L}\right)^2} \quad (3)$$

# VITESSE DE PHASE

Définie par :

$$c_{ph_n} = \frac{\omega}{k_{xn}} = \frac{c}{\sqrt{1 - \left(\frac{n\pi}{kL}\right)^2}} \quad (4)$$

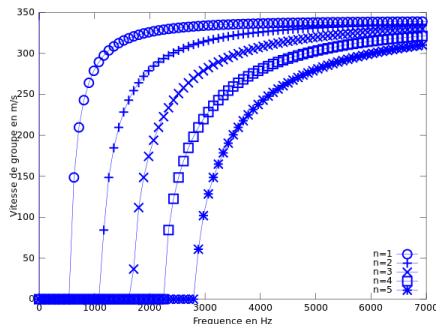


Vitesse de phase en fonction de la fréquence, pour les 5 premiers modes ( $L = 30$  cm,  $c = 340$  m/s).

# VITESSE DE GROUPE

Définie par :

$$c_{gn} = \frac{d\omega}{dk_{xn}} = c \sqrt{1 - \left( \frac{n\pi}{kL} \right)^2} \quad (5)$$



Vitesse de groupe en fonction de la fréquence, pour les 5 premiers modes ( $L = 30$  cm,  $c = 340$  m/s).

# VISUALISATION DE LA VITESSE DE GROUPE

$$\begin{cases} p_1 = A \cos(\omega_1 t - k_1 x) \\ p_2 = A \cos(\omega_2 t - k_2 x) \end{cases}$$

$$\Rightarrow p_1 + p_2 = 2A \cos(\Delta\omega t - \Delta k x) \cos(\omega_0 t - k_0 x) \quad (6)$$

avec

$$\Delta\omega = \frac{\omega_1 - \omega_2}{2} \quad , \quad \Delta k = \frac{k_1 - k_2}{2} \quad , \quad \omega_0 = \frac{\omega_1 + \omega_2}{2} \quad \text{et} \quad k_0 = \frac{k_1 + k_2}{2}$$

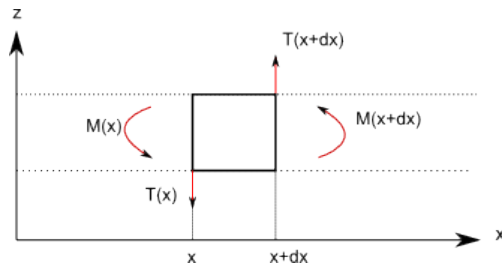
Video



## DANS LES MILIEUX CONTINUS

## Vibration d'une poutre encastrée-libre en flexion

# SCHÉMA DE LA POUTRE



Forces s'exerçant sur un élément de longueur  $dx$  d'une poutre en flexion

On utilise les approximations suivantes :

- ▶  $M(x + dx) = M(x) + \frac{\partial M(x)}{\partial x} dx$
- ▶  $T(x + dx) = T(x) + \frac{\partial T(x)}{\partial x} dx$

On applique le PFD à un élément de poutre de longueur  $dx$  :

$$\sum F_{ext} = \frac{\partial^2 W}{\partial t^2} dm \quad \Rightarrow \quad \boxed{\frac{\partial T(x)}{\partial x} = \rho S \frac{\partial^2 W}{\partial t^2}} \quad (7)$$

Le théorème des moments donne :

$$\boxed{-\frac{\partial^2 M(x)}{\partial x^2} = \frac{\partial T(x)}{\partial x}} \quad (8)$$

Enfin on peut calculer les moments dans la poutre :

$$\begin{cases} dM(x) = z dF \Rightarrow M(x) = \int_S z dF \\ dF = -Ez \frac{\partial^2 W}{\partial x^2} dS \end{cases} \quad (9)$$

$$\Rightarrow \quad \boxed{M(x) = -EI \frac{\partial^2 W}{\partial x^2}} \quad (10)$$

# ÉQUATION DE PROPAGATION DANS LA POUTRE

On obtient finalement :

$$\rho S \frac{\partial^2 W}{\partial t^2} = EI \frac{\partial^4 W}{\partial x^4} \quad (11)$$

On pose :  $W(x, t) = f(x)g(t)$  pour résoudre cette équation. On obtient les solutions suivantes :

$$g(t) = A \cos(\omega t) + B \sin(\omega t)$$

$$f(x) = C \cos(\beta x) + D \sin(\beta x) + F \cosh(\beta x) + G \sinh(\beta x)$$

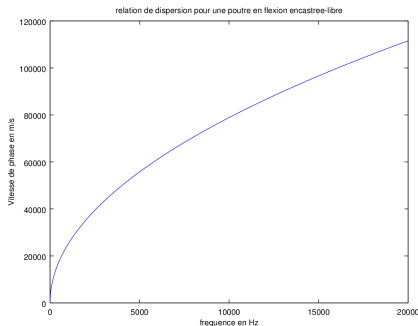
Avec :

$$\beta = \sqrt[4]{\frac{\rho S \omega^2}{EI}} \quad (12)$$

## DIAGRAMME DE DISPERSION

On a :

$$c_{phase} = \frac{\omega}{\beta} = \sqrt{\omega} \sqrt[4]{\frac{EI}{\rho S}} \quad (13)$$



Relation de dispersion d'une poutre en acier de 3 m de longueur, 2 cm d'épaisseur et 10 cm de largeur.

# APPLICATION DES CONDITIONS LIMITES

Poutre encastrée-libre :

► Encastrement :

$$\begin{cases} W(0, t) = 0 \\ \frac{\partial W(0, t)}{\partial x} = 0 \end{cases}$$

► Libre :

$$\begin{cases} EI \frac{\partial^2 W(L, t)}{\partial x^2} = 0 \\ EI \frac{\partial^3 W(L, t)}{\partial x^3} = 0 \end{cases}$$

Ce qui permet d'aboutir à :

$$\cos(\beta L) \cosh(\beta L) = -1 \quad (14)$$

On doit donc discrétiser pour résoudre le problème.

# PULSATIONS PROPRES

En posant  $\beta_n L = R_n$ , on a les solutions :

$$\omega_n = \frac{R_n^2}{L^2} \sqrt{\frac{EI}{\rho S}} \quad (15)$$

Avec :

Numéro $n$ du mode	Valeur de $R_n$	Valeur de $R_n^2$
0	1.8751	3.5160
1	4.6941	22.035
2	7.8547	61.696
$\geq 3$	$\frac{\pi}{2}(2n - 1)$	$\frac{\pi^2}{4}(2n - 1)^2$

Valeurs approchées de  $R_n$  permettant de calculer les fréquences propres pour une poutre encastree-libre.





# RÉSULTATS

Mode	Fréquence mesurée	$R_n$ du mode	Valeur théorique
0	9.7 Hz	1.875	10.20 Hz
1	60.5 Hz	4.694	63.92 Hz
2	170 Hz	7.855	179.00 Hz
3	320 Hz	10.996	350.00 Hz
4	707 Hz	14.137	579.7 Hz

Fréquences propres théoriques et relevées expérimentalement pour une poutre encastrée-libres.

Cela fonctionne bien en basses fréquences mais une erreur se répercute en hautes fréquences.

# DISPERSION DANS UN RÉSEAU DE DISCONTINUITÉS

## ÉQUATIONS DES TÉLÉGRAPHISTES

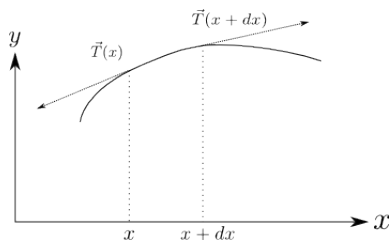


Schéma d'une corde vibrante sans masses ponctuelles

► Géométrie :

$$\frac{T_y}{T_x} = \frac{dy}{dx}$$

$$\Rightarrow v_y = \frac{T_y}{T_0}$$

$$\Rightarrow \boxed{\frac{\partial v_y}{\partial x} = \frac{1}{T_0} \frac{\partial T_y}{\partial t}}$$

► PFD :

$$\mu dx \vec{a}(x) = \vec{T}(x) + \vec{T}(x + dx)$$

$$\begin{cases} T_x(x) = T_x(x + dx) & \Rightarrow T_x = T_0 \\ \mu dx \frac{\partial^2 y}{\partial t^2} = -T_y(x) + T_y(x + dx) & \Rightarrow \boxed{\mu \frac{\partial v_y}{\partial t} = \frac{\partial T_y}{\partial x}} \end{cases}$$

# MISE SOUS FORME MATRICIELLE

Par séparation des variables, on a les solutions spatiales suivantes :

$$\begin{cases} T(x_1) = Ae^{-\Gamma x_1} + Be^{\Gamma x_1} \\ v(x_1) = -\frac{1}{j\omega\mu}[-\Gamma Ae^{-\Gamma x_1} + \Gamma Be^{\Gamma x_1}] \end{cases} \quad (16)$$

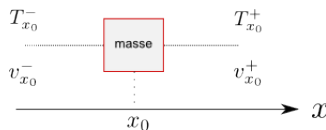
D'où la forme matricielle suivante :

$$\begin{pmatrix} T(x_1) \\ v(x_1) \end{pmatrix} = \begin{pmatrix} \cos(kL) & j\sqrt{\mu T_0} \sin(kL) \\ \frac{j}{\sqrt{\mu T_0}} \sin(kL) & \cos(kL) \end{pmatrix} \begin{pmatrix} T(x_2) \\ v(x_2) \end{pmatrix} \quad (17)$$

$$= \begin{pmatrix} A & B \\ C & D \end{pmatrix} \begin{pmatrix} T(x_2) \\ v(x_2) \end{pmatrix} \quad (18)$$

Avec  $\Gamma = jk = j\omega\sqrt{\frac{\mu}{T_0}}$ .

# AJOUT DE LA MASSE



Conditions limites :

$$T_{x_0}^- = T_{x_0}^+ + \alpha$$

$$v_{x_0}^- = v_{x_0}^+ = v$$

Schéma d'un élément du réseau composé d'une masse et de 2 morceaux de corde

On applique le PFD à la masse :

$$M \frac{\partial v}{\partial t} = T_{x_0}^- - T_{x_0}^+$$

$$\Rightarrow T_{x_0}^- = j\omega M v + T_{x_0}^+$$

Finalement :

$$\begin{pmatrix} T_{x_0}^- \\ v_{x_0}^- \end{pmatrix} = \begin{pmatrix} 1 & j\omega M \\ 0 & 1 \end{pmatrix} \begin{pmatrix} T_{x_0}^+ \\ v_{x_0}^+ \end{pmatrix} \quad (19)$$

On obtient finalement la matrice suivante pour une cellule composée d'une masse et de 2 morceaux de corde :

$$\begin{aligned} \begin{pmatrix} T_{x_0}^- \\ v_{x_0}^- \end{pmatrix} &= \begin{pmatrix} A & B \\ C & D \end{pmatrix} \begin{pmatrix} 1 & j\omega M \\ 0 & 1 \end{pmatrix} \begin{pmatrix} A & B \\ C & D \end{pmatrix} \begin{pmatrix} T_{x_0}^+ \\ v_{x_0}^+ \end{pmatrix} \\ &= \begin{pmatrix} T_{11} & T_{12} \\ T_{21} & T_{22} \end{pmatrix} \begin{pmatrix} T_{x_0}^+ \\ v_{x_0}^+ \end{pmatrix} \end{aligned}$$

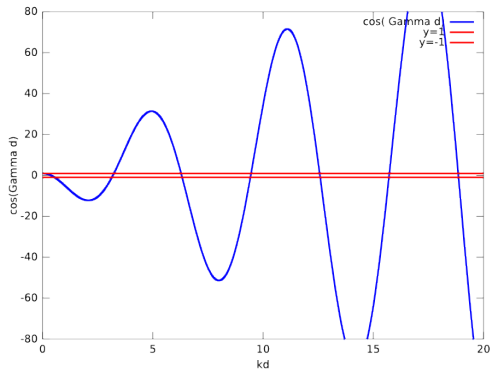
On a notamment :

$$T_{11} = T_{22} = \cos(kd) - \frac{\omega M}{2Z_c} \sin(kd) \quad (20)$$

# ÉQUATION DE DISPERSION

Pour un réseau infini :

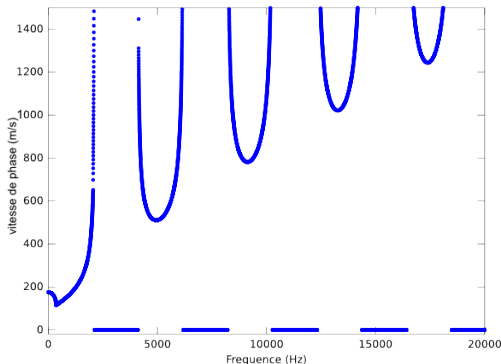
$$\cos(\Gamma_{eq}d) = T_{22} = \cos(kd) - \frac{\omega M}{2Z_c} \sin(kd) \quad (21)$$



Représentation de l'équation de dispersion pour une corde lestée

# COURBE DE DISPERSION

$$c_{phase} = \frac{2\pi f}{\Gamma_{eq}} \quad (22)$$

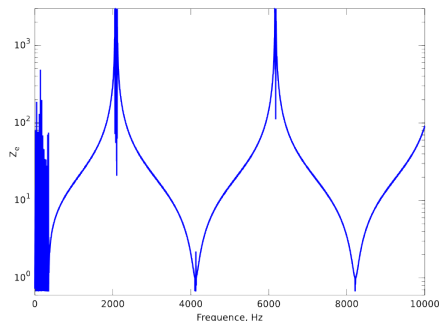
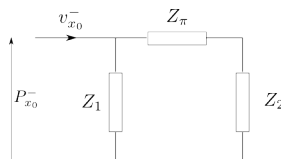


Courbe de dispersion pour une corde lestée par des poids disposés régulièrement.



# IMPÉDANCE D'ENTRÉE

$$\begin{pmatrix} T_{11} & T_{12} \\ T_{21} & T_{22} \end{pmatrix}^N \Rightarrow$$



Impédance d'entrée de la corde lésée pour une impédance de sortie infinie ( $N = 33$ ).

## PROTOCOLE EXPÉRIMENTAL

Schéma du banc de mesure :

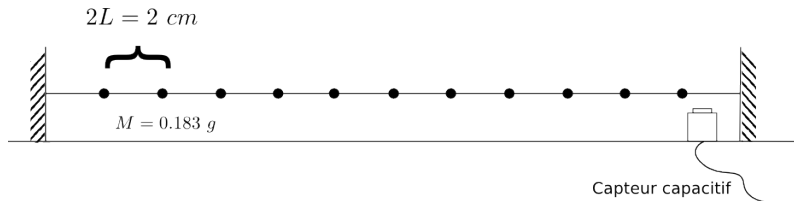
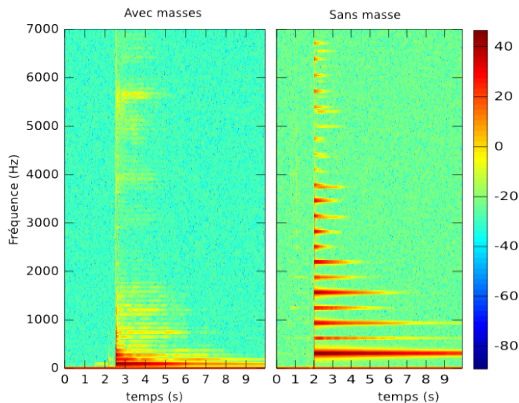


Schéma du montage expérimental.

### Caractéristiques de la corde :

- Masse linéique de la corde (mesurée) :  $\mu = 0.63 \text{ g/m}$
- Longueur de la corde :  $l = 68 \text{ cm}$

# RÉSULTATS EXPÉRIMENTAUX



Spectrogramme de l'énergie dans la corde avec et sans masses.

# CONCLUSION

Divers manières d'obtenir une onde dispersive ont donc été vues :

- ▶ Dans un guide d'onde, la dispersion est liée à la prise en compte de l'impédance des parois.
- ▶ Dans une poutre, le moment de torsion fait apparaître une dérivée 4<sup>ème</sup> dans l'équation de propagation de l'onde.
- ▶ Enfin, pour la corde lestée, la périodicité du réseau engendre la non-propagation pour des bandes de fréquences et influe sur la célérité des ondes dont la fréquence avoisine ces bandes.

# BIBLIOGRAPHIES

GUYADER, Jean-Louis. Vibrations des milieux continus.  
Hermes Science Publications, 2002

DALMONT, Jean-Pierre. Guide des Guides d'ondes  
acoustiques (version 1.4). 2010

RICHOUX, Olivier. Étude de la propagation des ondes  
mécaniques dans un réseau unidimensionnel comportant du  
désordre et/ou des non-linéarités localisées. Th. doct. :  
Acoustique. Le Mans : université du Maine, 1999

CASTAGNEDE, Bernard. Cours de théorie des vibrations [en  
ligne]. Consulté le 20/05/14. Disponible à l'adresse :  
[perso.univ-lemans.fr/~bcasta/DocEnseignement/  
CoursM1Vibrations\(II\).pdf](http://perso.univ-lemans.fr/~bcasta/DocEnseignement/CoursM1Vibrations(II).pdf)